

WPD Salentina s.r.l.

P. IVA 16496441003
Corso d'Italia 83, 00198 Roma

REALIZZAZIONE DI UN IMPIANTO EOLICO DELLA POTENZA DI CIRCA 52,8 MW IN AGRO DI GUAGNANO (LE) E SAN DONACI (BR), CON OPERE CONNESSE ALLA SE DI ERCHIE (BR)



Via Degli Arredatori, 8
70026 Modugno (BA) - Italy
www.bfpgroup.net - info@bfpgroup.net
tel. (+39) 0805046361

Azienda con Sistema di Gestione Certificato
UNI EN ISO 9001:2015
UNI EN ISO 14001:2015
UNI ISO 45001:2018

Tecnico

ing. Danilo POMPONIO

Collaborazioni

ing. Milena MIGLIONICO
ing. Giulia CARELLA
ing. Valentina SAMMARTINO
ing. Tommaso MANCINI
ing. Fabio MASTROSERIO
ing. Martino LAPENNA
ing. Margherita DEBERNARDIS
arch. Angela LA RICCIA
pianif. terr. Antonio SANTANDREA
ing. Nunzia ZECCHILLO
ing. Mariano MARSEGLIA
ing. Giuseppe Federico ZINGARELLI
ing. Dionisio STAFFIERI

Responsabile Commessa

ing. Danilo POMPONIO

| ELABORATO | TITOLO | COMMESSA | TIPOLOGIA |
|------------|--|---------------------|--------------------------|
| E02 | RELAZIONE VERIFICA IMPATTO ELETTROMAGNETICO | 22015 | D |
| | | CODICE ELABORATO | |
| | | DC22015D-E02 | |
| REVISIONE | Tutte le informazioni tecniche contenute nel presente documento sono di proprietà esclusiva della Studio Tecnico BFP S.r.l. e non possono essere riprodotte, divulgate o comunque utilizzate senza la sua preventiva autorizzazione scritta. All technical information contained in this document is the exclusive property of Studio Tecnico BFP S.r.l. and may neither be used nor disclosed without its prior written consent. (art. 2575 c.c.) | SOSTITUISCE | SOSTITUITO DA |
| 00 | | - | - |
| | | NOME FILE | PAGINE |
| REV | DATA | MODIFICA | |
| 00 | 22/09/22 | Emissione | |
| 01 | | | |
| 02 | | | |
| 03 | | | |
| 04 | | | |
| 05 | | | |
| 06 | | | |

| Elaborato | Controllato | Approvato |
|-----------|-------------|-----------|
| Lapenna | Mancini | Pomponio |



| | |
|---|-----------|
| 1. PREMESSA | 2 |
| 2. OGGETTO | 2 |
| 3. GENERALITÀ SULLE EMISSIONI ELETTROMAGNETICHE | 2 |
| 4. NORME E DOCUMENTAZIONE DI RIFERIMENTO | 3 |
| 4.1 Definizioni..... | 4 |
| 5. INQUADRAMENTO NORMATIVO | 5 |
| 6. DESCRIZIONE DELL'IMPIANTO | 7 |
| 6.1 Caratteristiche generali del campo eolico | 7 |
| 6.2 Caratteristiche dell'aerogeneratore | 7 |
| 6.3 Linee di distribuzione in AT | 8 |
| 7. METODO DI CALCOLO CAMPO MAGNETICO | 9 |
| 7.1 Cenni teorici..... | 9 |
| 7.2 Metodo di calcolo | 10 |
| 8. VALUTAZIONE PREVENTIVA DEI CAMPI ELETTROMAGNETICI GENERATI DELLE COMPONENTI DELL'IMPIANTO | 11 |
| 8.1 Applicazione della normativa sulla tutela della popolazione..... | 11 |
| 8.2 Aerogeneratore | 11 |
| 8.3 Cabine elettriche interne all'aerogeneratore | 12 |
| 9. LINEE DI DISTRIBUZIONE IN AT | 14 |
| 9.1 Determinazione dei campi magnetici | 14 |
| 9.2 Distanze di prima approssimazione | 19 |
| 10. CABINA UTENTE | 20 |
| 11. CONCLUSIONI | 21 |

1. PREMESSA

La presente relazione tecnica è relativa alla redazione del progetto per la realizzazione di un parco eolico proposto dalla società **WPD Salentina S.r.l.**

La proposta progettuale è finalizzata alla realizzazione di un impianto eolico per la produzione di energia elettrica da fonte rinnovabile eolica, costituito da 8 aerogeneratori, ciascuno di potenza nominale pari a 6,6 MW per una potenza complessiva di 52,8 MW, da realizzarsi nel comune di Guagnano (LE) e San Donaci (BR), in cui insistono gli aerogeneratori, e le relative opere di connessione che attraversano anche i territori di San Pancrazio Salentino (BR), Salice Salentino (LE), Avetrana (TA) e Erchie (BR), per il collegamento al futuro ampliamento della Stazione Elettrica Terna di Erchie, mediante rete elettrica interrata a 36 kV.

2. OGGETTO

Il presente studio è finalizzato al calcolo preventivo delle emissioni elettromagnetiche non ionizzanti determinate dalle installazioni elettriche previste dal progetto di un nuovo impianto di produzione di energia elettrica da fonte eolica della potenza di 52,8 MW, equivalenti all'installazione di n. 8 aerogeneratori della potenza nominale pari a 6,6 MW.

3. GENERALITÀ SULLE EMISSIONI ELETTROMAGNETICHE

I campi elettromagnetici consistono in onde elettriche (E) e magnetiche (H) che viaggiano insieme. Esse si propagano alla velocità della luce e sono caratterizzate da una frequenza ed una lunghezza d'onda.

I campi ELF si identificano nei campi a frequenza fino a 300 Hz. A frequenze così basse corrispondono lunghezze d'onda in aria molto grandi e, in situazioni pratiche, il campo elettrico e quello magnetico agiscono in modo indipendente l'uno dall'altro e vengono misurati e valutati separatamente.

I campi elettrici sono prodotti dalle cariche elettriche. Essi governano il moto di altre cariche elettriche che vi siano immerse. La loro intensità viene misurata in volt al metro (V/m) o in chilovolt al metro (kV/m). Quando delle cariche si accumulano su di un oggetto, fanno sì che cariche di segno uguale od opposto vengano, rispettivamente, respinte o attratte. L'intensità di questo effetto viene caratterizzata attraverso la tensione, misurata in volt (V).

L'intensità dei campi elettrici è massima vicino alla sorgente e diminuisce con la distanza (proporzionale alla tensione della sorgente). Molti materiali comuni, come il legno ed il metallo, costituiscono uno schermo per questi campi.

I campi magnetici sono prodotti dal moto delle cariche elettriche, cioè dalla corrente. Essi governano il moto delle cariche elettriche. La loro intensità si misura in ampere al metro (A/m),

ma è spesso espressa in termini di una grandezza corrispondente, l'induzione magnetica, che si misura in tesla (T), millitesla (mT) o microtesla (μ T).

I campi magnetici sono massimi vicino alla sorgente e diminuiscono con la distanza (proporzionale alla corrente della sorgente). Essi non vengono schermati dalla maggior parte dei materiali di uso comune, e li attraversano facilmente.

Ai fini dell'esposizione umana alle radiazioni non ionizzanti, considerando le caratteristiche fisiche delle grandezze elettriche in gioco in un impianto eolico (tensioni fino a 150.000 V e frequenze di 50 Hz) i campi elettrici e magnetici sono da valutarsi separatamente perché disaccoppiati.

Come già accennato il campo elettrico, a differenza del campo magnetico, subisce una attenuazione per effetto della presenza di elementi posti fra la sorgente e il punto irradiato. Pertanto le situazioni più critiche sono rappresentate dagli impianti installati in ambiente esterno, rappresentando le schermature dei cavi, la presenza di opere civili e la blindatura degli scomparti validi elementi di schermatura. Inoltre la distanza tra le apparecchiature e le recinzioni sono tali da contenere i valori di campo elettrico entro i valori limite da eventuali ricettori sensibili. Ai fini del presente studio si valuteranno, quindi, i soli campi magnetici.

4. NORME E DOCUMENTAZIONE DI RIFERIMENTO

- Legge 22 febbraio 2001, n. 36 "Legge quadro sulla protezione dalle esposizioni a campi elettrici, magnetici ed elettromagnetici".
- DPCM 8 luglio 2003 "Fissazione dei limiti di esposizione, valori di attenzione ed obiettivi di qualità per la protezione della popolazione dalle esposizioni ai campi elettrici e magnetici alla frequenza di rete (50 Hz) generati dagli elettrodotti".
- DM 29 maggio 2008, GU n. 156 del 5 luglio 2008, "Approvazione della metodologia di calcolo per la determinazione delle fasce di rispetto degli elettrodotti".
- CEI 11-17 "Impianti di produzione, trasmissione, distribuzione pubblica di energia elettrica - Linee in cavo".
- CEI 11-60, "Portata al limite termico delle linee elettriche aeree esterne con tensione maggiore a 100 kV",
- CEI 20-21 "Calcolo della portata di corrente" (IEC 60287).
- CEI 106-11 "Guida per la determinazione delle fasce di rispetto per gli elettrodotti secondo le disposizioni del DPCM 8 luglio 2003 (Art. 6). Parte I: linee elettriche aeree e in cavo".



4.1 Definizioni

Si introducono le seguenti definizioni anche in riferimento a quanto indicato nell'allegato del D.M. del 29 Maggio 2008 "Metodologia di calcolo per la determinazione delle fasce di rispetto":

Corrente

Valore efficace dell'intensità di corrente elettrica.

Portata in corrente in servizio normale

Corrente che può essere sopportata da un conduttore per il 100% del tempo con limiti accettabili del rischio di scarica sugli oggetti mobili e sulle opere attraversate e dell'invecchiamento. Essa è definita nella norma CEI 11-60 e sue successive modifiche e integrazioni.

La corrente di calcolo per la determinazione delle fasce di rispetto è la "portata di corrente in servizio normale relativa al periodo stagionale in cui essa è più elevata":

- Per le linee con tensione >100 kV, è definita dalla norma CEI 11-60;
- Per gli elettrodotti aerei con tensione < 100 kV, i proprietari/gestori fissano la portata in corrente in regime permanente in relazione ai carichi attesi con riferimento alle condizioni progettuali assunte per il dimensionamento dei conduttori;
- Per le linee in cavo è definita dalla norma CEI 11-17 come portata in regime permanente;

Portata in regime permanente

Massimo valore della corrente che, in regime permanente e in condizioni specificate, il conduttore può trasmettere senza che la sua temperatura superi un valore specificato.

Fascia di rispetto

Spazio circostante un elettrodotto, che comprende tutti i punti, al di sopra e al di sotto del livello del suolo, caratterizzati da un'induzione magnetica di intensità maggiore o uguale all'obiettivo di qualità.

Distanza di prima approssimazione

È la distanza in pianta dalla proiezione del centro linea che garantisce che ogni punto, la cui proiezione al suolo disti dalla proiezione del centro linea più della DPA, si trovi all'esterno della fascia di rispetto. Per le cabine è la distanza da tutte le facce del parallelepipedo della cabina stessa che garantisce i requisiti di cui sopra.



5. INQUADRAMENTO NORMATIVO

La normativa nazionale per la tutela della popolazione dagli effetti dei campi elettromagnetici disciplina separatamente le basse frequenze (es. elettrodotti) e le alte frequenze (es. impianti radiotelevisivi, stazioni radiobase, ponti radio).

Il 14 febbraio 2001 è stata approvata dalla Camera dei deputati la legge quadro sull'inquinamento elettromagnetico (L.36/01). In generale il sistema di protezione dagli effetti delle esposizioni agli inquinanti ambientali distingue tra:

- Effetti acuti (o di breve periodo), basati su una soglia, per cui si fissano limiti di esposizione che garantiscono, con margini cautelativi, la non insorgenza di tali effetti;
- Effetti cronici (o di lungo periodo), privi di soglia e di natura probabilistica (all'aumentare dell'esposizione aumenta non l'entità ma la probabilità del danno), per cui si fissano livelli operativi di riferimento per prevenire o limitare il possibile danno complessivo.

È importante dunque distinguere il significato dei termini utilizzati nelle leggi (riportiamo nella tabella 1 le definizioni inserite nella legge quadro).

| | |
|-----------------------|---|
| Limiti di esposizione | Valori di CEM che non devono essere superati in alcuna condizione di esposizione, ai fini della tutela dagli effetti acuti. |
| Valori di attenzione | Valori di CEM che non devono essere superati negli ambienti abitativi, scolastici e nei luoghi adibiti a permanenze prolungate. Essi costituiscono la misura di cautela ai fini della protezione da possibili effetti di lungo periodo. |
| Obiettivi di qualità | Valori di CEM causati da singoli impianti o apparecchiature da conseguire nel breve, medio e lungo periodo, attraverso l'uso di tecnologie e metodi di risanamento disponibili. Sono finalizzati a consentire la minimizzazione dell'esposizione della popolazione e dei lavoratori ai CEM anche per la protezione da possibili effetti di lungo periodo. |

Tabella 1: Definizioni di limiti di esposizione, di valori di attenzione e di obiettivi di qualità secondo la legge quadro.

La normativa di riferimento in Italia per le linee elettriche è il DPCM del 08/07/2003 (G.U. n. 200 del 29.08.2003) "Fissazione dei limiti massimi di esposizione, dei valori di attenzione e degli obiettivi di qualità per la protezione della popolazione dalle esposizioni ai campi elettrici e magnetici generati alla frequenza di rete (50 Hz) generati dagli elettrodotti"; tale decreto, per effetto di quanto fissato dalla legge quadro sull'inquinamento elettromagnetico, stabilisce:

- I limiti di esposizione, i valori di attenzione e gli obiettivi di qualità per la tutela della salute della popolazione nei confronti dei campi elettromagnetici generati a frequenze non contemplate dal D.M. 381/98, ovvero i campi a bassa frequenza (ELF) e a frequenza industriale (50 Hz);
- Parametri per la determinazione delle fasce di rispetto per gli elettrodotti.

Relativamente alla definizione di limiti di esposizione, valori di attenzione e obiettivi di qualità per l'esposizione della popolazione ai campi di frequenza industriale (50 Hz) relativi agli elettrodotti, il DPCM 08/07/03 propone i valori descritti in tabella 2, confrontati con la normativa europea.

| Normativa | Limiti previsti | Induzione magnetica B (μT) | Intensità del campo elettrico E (V/m) |
|-------------------|--|---|---------------------------------------|
| DPCM | Limite d'esposizione | 100 | 5.000 |
| | Limite d'attenzione | 10 | |
| | Obiettivo di qualità | 3 | |
| Racc. 1999/512/CE | Livelli di riferimento (ICNIRP1998, OMS) | 100 | 5.000 |

Tabella 2: Limiti di esposizione, limiti di attenzione e obiettivi di qualità del DPCM 08/07/03, confrontati con i livelli di riferimento della Raccomandazione 1999/512CE.

Il valore di attenzione di 10 μT si applica nelle aree di gioco per l'infanzia, negli ambienti abitativi, negli ambienti scolastici e in tutti i luoghi in cui possono essere presenti persone per almeno 4 ore al giorno. Tale valore è da intendersi come mediana dei valori nell'arco delle 24 ore nelle normali condizioni di esercizio.

L'obiettivo di qualità di 3 μT si applica ai nuovi elettrodotti nelle vicinanze dei sopraccitati ambienti e luoghi, nonché ai nuovi insediamenti ed edifici in fase di realizzazione in prossimità di linee e di installazioni elettriche già esistenti (valore inteso come mediana dei valori nell'arco delle 24 ore nelle normali condizioni di esercizio). Da notare che questo valore corrisponde approssimativamente al livello di induzione prevedibile, per linee a pieno carico, alle distanze di rispetto stabilite dal vecchio DPCM 23/04/92.

Si ricorda che i limiti di esposizione fissati dalla legge sono di 100 μT per lunghe esposizioni e di 1000 μT per brevi esposizioni.

Per quanto riguarda la determinazione delle fasce di rispetto degli elettrodotti, il Ministero dell'ambiente e della tutela del territorio e del mare, sentite le ARPA, ha approvato, con Decreto 29 Maggio 2008, "La metodologia di calcolo per la determinazione delle fasce di rispetto degli elettrodotti".

Tale metodologia, ai sensi dell'art. 6 comma 2 del D.P.C.M. 8 luglio 2003, ha lo scopo di fornire la procedura da adottarsi per la determinazione delle fasce di rispetto pertinenti alle

linee elettriche aeree e interrate, esistenti e in progetto. I riferimenti contenuti in tale articolo implicano che le fasce di rispetto debbano attribuirsi ove sia applicabile l'obiettivo di qualità: "Nella progettazione di nuovi elettrodotti in corrispondenza di aree di gioco per l'infanzia, di ambienti abitativi, di ambienti scolastici e di luoghi adibiti a permanenze non inferiori a quattro ore e nella progettazione di nuovi insediamenti e delle nuove aree di cui sopra in prossimità di linee ed installazioni elettriche già presenti nel territorio" (Art. 4).

Al fine di semplificare la gestione territoriale e il calcolo delle fasce di rispetto è stato introdotto nella metodologia di calcolo un procedimento semplificato che trasforma la fascia di rispetto (volume) in una distanza di prima approssimazione (distanza).

6. DESCRIZIONE DELL'IMPIANTO

6.1 Caratteristiche generali del campo eolico

L'impianto eolico per la produzione di energia elettrica avrà le seguenti caratteristiche generali:

- n° 8 aerogeneratori della potenza massima di circa 6,6 MW ciascuno ed avente generatore di tipo asincrono, con diametro del rotore pari a 170 m, altezza mozzo pari a 165 m, per un'altezza massima al tip (punta della pala) pari a 250 m, comprensivi al loro interno di cabine elettriche di trasformazione AT/BT;
- una cabina utente ubicata nei pressi del punto di connessione che raccoglie le linee AT di interconnessione del parco eolico, consentendo poi la trasmissione dell'intera potenza del parco eolico al punto di consegna mediante un raccordo in cavo interrato (36 kV).
- rete elettrica interrata a 36 kV per l'interconnessione tra gli aerogeneratori e la cabina utente e tra quest'ultima e la stazione Terna di connessione;
- rete telematica di monitoraggio in fibra ottica per il controllo dell'impianto eolico mediante trasmissione dati via modem o satellitare.

6.2 Caratteristiche dell'aerogeneratore

In particolare, trattasi di aerogeneratori trifase con potenza massima di 6600 kW e tensione nominale di 690 V.

Le pale della macchina sono fissate su un mozzo e nell'insieme costituiscono il rotore che ha diametro massimo di 170 m: il mozzo a sua volta viene collegato ad un sistema di alberi e moltiplicatori di giri per permettere la connessione al generatore elettrico, da cui si dipartono i cavi elettrici di potenza, in bassa tensione verso il trasformatore AT/BT.

Tutti i componenti su menzionati, ad eccezione del rotore, sono ubicati in una cabina, detta navicella, la quale a sua volta, è posta su un supporto cuscinetto in modo da essere facilmente

orientabile secondo la direzione del vento. L'intera navicella (realizzata in materiale plastico rinforzato con fibra di vetro) viene posta su di una torre tronco-conica tubolare.

Oltre ai componenti prima detti, vi è un sistema di controllo che esegue diverse funzioni:

- ✓ il controllo della potenza, che viene eseguito ruotando le pale intorno al proprio asse principale in maniera da aumentare o ridurre la superficie esposta al vento, in base al profilo delle pale;
- ✓ il controllo della navicella, detto controllo dell'imbardata, che serve ad inseguire la direzione del vento, ma che può essere anche utilizzato per il controllo della potenza;
- ✓ l'avviamento della macchina allorché è presente un vento di velocità sufficiente, e la fermata della macchina, quando vi è un vento di velocità superiore a quella massima per la quale la macchina è stata progettata.

L'intera navicella viene posta su di una torre avente forma conica tubolare. La velocità del vento di avviamento è la minima velocità del vento che dà la potenza corrispondente al massimo rendimento aerodinamico del rotore. Quando la velocità del vento supera il valore corrispondente alla velocità di avviamento la potenza cresce al crescere della velocità del vento. La potenza cresce fino alla velocità nominale e poi si mantiene costante fino alla velocità di *Cut-out wind speed* (fuori servizio).

Per ragioni di sicurezza a partire dalla velocità nominale la turbina si regola automaticamente e l'aerogeneratore fornirà la potenza nominale servendosi dei suoi meccanismi di controllo.

L'aerogeneratore si avvicinerà al valore della potenza nominale a seconda delle caratteristiche costruttive della turbina montata: passo fisso, passo variabile, velocità variabile, etc.

6.3 Linee di distribuzione in AT

Gli aerogeneratori sono collegati tra loro e al futuro ampliamento della stazione elettrica di connessione da una rete di distribuzione in cavo interrato esercita in alta tensione a 36 kV.

I cavi impiegati saranno del tipo unipolari¹ HV XLPE 26/45 KV con posa in cavidotto a "trifoglio". Essi sono costituiti con conduttori di alluminio rivestito da un primo strato di semiconduttore, da un isolante primario in elastomero termoplastico, da un successivo strato di semiconduttore, da uno schermo a fili di rame, nastro di alluminio e guaina esterna in polietilene. Sia il semiconduttore (che ha la funzione di uniformare il campo elettrico) che l'isolante primario sono di tipo estruso.

Il cavo suddetto è definito a campo radiale in quanto, essendo ciascuna anima rivestita da uno schermo metallico, le linee di forza elettriche risultano perpendicolari agli strati dell'isolante.

¹ Per quanto riguarda i cavi non "CPR", se immessi sul mercato dopo il 01/07/2017, dovranno essere sostituiti con cavi "CPR" corrispondenti, qualora disponibili sul mercato prima dell'esecuzione dell'impianto **(D.lgs n 106 del 16/06/2017)**

Le sezioni dei singoli cavi componenti le terne, presentano le seguenti caratteristiche:

| Tratto | N. di terne | Portata in servizio nominale | Sezione conduttore | Diametro conduttore | Diametro sull'isolante | Diametro cavo | Portata al limite termico del cavo ⁽¹⁾ |
|--------|-------------|------------------------------|--------------------|---------------------|------------------------|---------------|---|
| | N. | [A] | [mm ²] | [mm] | [mm] | [mm] | [A] |
| S1 | 1 | 334,3 | 3x1x800 | 33,0 | 52,8 | 64 | 810 |
| S2 | 2 | 334,3 | 3x1x800 | 33,0 | 52,8 | 64 | 810 |
| | | 222,8 | 3x1x800 | 33,0 | 52,8 | 64 | 810 |
| S3 | 3 | 334,3 | 3x1x800 | 33,0 | 52,8 | 64 | 810 |
| | | 334,3 | 3x1x800 | 33,0 | 52,8 | 64 | 810 |
| | | 222,8 | 3x1x800 | 33,0 | 52,8 | 64 | 810 |
| S4 | 2 | 445,65 | 3x1x800 | 33,0 | 52,8 | 64 | 810 |
| | | 445,65 | 3x1x800 | 33,0 | 52,8 | 64 | 810 |

(1) posa interrata a trifoglio, profondità di posa 1m, resistività del terreno $\rho=1 \text{ }^\circ\text{Cm/W}$, temperatura del terreno 20°C (valori ricavati da scheda tecnica)

Tabella 3: Caratteristiche dimensionali dei cavi in AT.

Ai fini della valutazione dei campi magnetici, di seguito descritta, sono state considerate come portate in servizio nominale le correnti massime generate dall'impianto eolico. Tali valori di corrente risultano sovradimensionati e quindi di tipo conservativo in quanto i valori massimi reali, comunque inferiori ai valori indicati, si otterranno solo in determinate condizioni di funzionamento, funzione di diversi parametri quali per esempio le condizioni atmosferiche, rendimento delle macchine ecc.

7. METODO DI CALCOLO CAMPO MAGNETICO

7.1 *Cenni teorici*

L'induzione magnetica B generata da NR conduttori filiformi, numerati da 0 a $(NR-1)$, può essere calcolata con l'espressione riportata di seguito. Si fa notare che solo i conduttori reali contribuiscono al campo magnetico, perché si assume il suolo perfettamente trasparente dal punto di vista magnetico e non si considerano quindi i conduttori immagine.

$$\vec{B} = -\frac{\mu_0}{4\pi} \sum_{k=0}^{NR-1} \int_{C_k} \frac{i}{r^3} \vec{r} \times d\vec{l}$$

Dove μ_0 è la permeabilità magnetica del vuoto, NR è il numero dei, i la corrente, C_k il conduttore generico, $d\vec{l}$ un suo tratto elementare, r la distanza tra questo tratto elementare ed il punto dove si vuole calcolare il campo.

Il modello adottato (conduttori cilindrici rettilinei orizzontali indefiniti paralleli tra di loro)

consente di eseguire facilmente l'integrazione e semplificare i calcoli.

Indicato con **Q** il punto dove si vuole determinare il campo, definiamo sezione normale il piano verticale passante per Q e ortogonale ai conduttori; indichiamo quindi con **P_k** il punto dove il generico conduttore **C_k** interseca la sezione normale, e con **I_k** la corrente nel singolo conduttore (si è preso l'asse **z** nella direzione dei conduttori).

Con queste posizioni, per l'induzione magnetica in Q si ottiene l'espressione

$$\vec{B} = \frac{\mu_0}{2\pi} \sum_{k=0}^{NR-1} \frac{i_k \vec{z} \times (Q - P_k)}{|Q - P_k|^2}$$

La formula indica che l'induzione magnetica è inversamente proporzionale al quadrato della distanza del punto di interesse dai conduttori; esiste inoltre una proporzionalità diretta tra l'induzione e la distanza tra i singoli conduttori di ogni terna.

Per il calcolo del campo elettrico, invece, si ricorre al principio delle immagini in base al quale il terreno, considerato come piano equipotenziale a potenziale nullo, può essere simulato con una configurazione di cariche immagini. In altre parole per ogni conduttore reale, sia attivo che di guardia, andrà considerato un analogo conduttore immagine la cui posizione è speculare, rispetto al piano di terra, a quella del conduttore reale e la cui carica è opposta rispetto a quella del medesimo conduttore reale.

In particolare il campo elettrico di un conduttore rettilineo di lunghezza infinita con densità lineare di carica costante può essere espresso come:

$$\vec{E} = \frac{\lambda}{2\pi\epsilon_0 d} \vec{u}_r$$

Dove:

- λ = densità lineare di carica sul conduttore;
- ϵ_0 = permittività del vuoto;
- d = distanza del conduttore rettilineo dal punto di calcolo;
- u_r = versore unitario con direzione radiale al conduttore.

7.2 Metodo di calcolo

Lo studio dell'impatto elettromagnetico nel caso di linee elettriche aeree e non, si traduce nella determinazione di una fascia di rispetto. Per l'individuazione di tale fascia si deve effettuare il calcolo dell'induzione magnetica basato sulle caratteristiche geometriche, meccaniche ed elettriche della linea presa in esame. Esso deve essere eseguito secondo modelli tridimensionali o bidimensionali con l'applicazione delle condizioni espresse al paragrafo 6.1 della norma CEI 106-11.

Al fine di semplificare la gestione territoriale e il calcolo delle fasce di rispetto, in prima approssimazione è possibile:

- Calcolare la fascia di rispetto combinando la configurazione dei conduttori, geometrica e di fase, e la portata in corrente in servizio normale che forniscono il risultato più cautelativo sull'intero tronco;
- Proiettare al suolo verticalmente tale fascia;
- Individuare l'estensione rispetto alla proiezione del centro linea (DPA).

Come già accennato il campo Elettrico, a differenza del campo Magnetico, subisce una attenuazione per effetto della presenza di elementi posti fra la sorgente e il punto irradiato risultando nella totalità dei casi inferiore ai limiti imposti dalla norma.

Ai fini del presente studio si valuteranno i soli campi magnetici per tutte le apparecchiature elettriche costituenti l'impianto.

8. VALUTAZIONE PREVENTIVA DEI CAMPI ELETTROMAGNETICI GENERATI DELLE COMPONENTI DELL'IMPIANTO

8.1 Applicazione della normativa sulla tutela della popolazione

Per tutto ciò che attiene la valutazione dei campi magnetici ed elettrici all'interno delle torri, essendo l'accesso ammesso esclusivamente a personale lavoratore autorizzato, non trova applicazione il DPCM 8 luglio 2003.

Essendo le zone direttamente confinanti con l'impianto non adibite né ad una permanenza giornaliera non inferiore alle 4 ore né a zone gioco per l'infanzia/abitazioni scuole, vanno verificati esclusivamente i limiti di esposizione. Non trovano applicazione, per le stesse motivazioni, gli obiettivi di qualità del DPCM 8 luglio 2003.

8.2 Aerogeneratore

L'aerogeneratore è costituito da un supporto metallico continuo (torre tubolare), a seconda dei casi appoggiata su una base tubolare realizzata in cemento armato precompresso prefabbricato o in metallo, alla cui estremità superiore è installata la "navicella", ossia il sistema di conversione dell'energia eolica in energia elettrica, costituito da:

- pale in materiale non metallico;
- albero di trasmissione;
- moltiplicatore di giri;
- generatore elettrico.

Il generatore elettrico è il più significativo componente che può indurre campi elettromagnetici.

Dato il basso valore della tensione in uscita dal generatore (0.69 kV) l'entità del campo elettrico è trascurabile mentre il campo magnetico può assumere valori di interesse esclusivamente nelle immediate vicinanze del generatore all'interno della navicella che è situata a circa 165 metri di altezza dal suolo.

Attorno alla navicella non sono presenti significativi campi elettromagnetici poiché nei moderni aerogeneratori i componenti meccanici e l'involucro esterno della navicella non sono più realizzati con materiali metallici, come accadeva nei primi aerogeneratori.

Anche gli aerogeneratori – alla pari di qualsiasi altro ostacolo (naturale o antropico) - possono influenzare la propagazione di un campo elettromagnetico, quale quello delle onde radiotelevisive e delle telecomunicazioni. Gli effetti sono quelli di un'alterazione della qualità del collegamento, in termini di segnale-disturbo, e della forma del segnale ricevuto con eventuale alterazione dell'informazione.

Per quanto riguarda invece i collegamenti radio-televisivi, è necessario che gli aerogeneratori siano collocati fuori dal cono di trasmissione, soprattutto per comunicazioni con forte direzionalità; in particolare le interferenze degli aerogeneratori possono essere imputabili alla generazione di un locale campo magnetico dovuto al moto delle pale metalliche che interagisce con il campo magnetico delle onde radio-televisive. Tali interferenze sono state minimizzate con l'utilizzo di pale in materiale non metallico (p.e. vetroresina).

Comunque sia, il presente progetto sarà inoltrato all'Ispettorato Territoriale del Ministero delle Comunicazioni ed agli uffici militari competenti in materia di disturbo alle comunicazioni militari per una valutazione delle possibili interferenze elettriche.

8.3 Cabine elettriche interne all'aerogeneratore

Ogni aerogeneratore è dotato di una cabina elettrica (cabina di macchina) interna. Nei moderni aerogeneratori multimegawatt si possono riscontrare due diverse dislocazioni degli apparati elettrici di alta o media tensione (nel caso in esame si parlerà di alta tensione a 36 kV):

- a. il trasformatore AT/BT è ubicato nella navicella mentre i quadri a AT di protezione e sezionamento alla base della torre tubolare, come nel caso specifico;
- b. il trasformatore AT/BT, il quadro generale di bassa tensione e i quadri a AT di protezione e sezionamento ubicati, insieme, alla base della torre tubolare.

In entrambi i casi, è ormai certo sia in letteratura che nelle prove sperimentali condotte da diverse ARPA in Italia, che nelle cabine di trasformazione AT/BT l'emissione di campi elettrici e soprattutto magnetici è da attribuire al trasformatore e alle sbarre del quadro di bassa tensione. La valutazione dei campi generati dal trasformatore parte da dati sperimentali su una taglia e tipo standard di trasformatore AT/BT per poi essere estesa con le dovute approssimazioni alla

varia gamma di tipologie, potenze e ai trasformatori AT/BT. Si riporta in tabella l'induzione magnetica prodotta da un trasformatore AT/BT in olio della potenza di 6600 kVA e tensione di corto circuito 6%.

| Potenza trasformatore in olio | Distanza dal trasformatore | | | | |
|-------------------------------------|----------------------------|-----------|----------|----------|----------|
| | 1 m | 2 m | 3 m | 5 m | 10 m |
| 6600 kVA | 210,457 µT | 30,219 µT | 9,710 µT | 2,323 µT | 0,905 µT |

Per un analogo trasformatore in resina valgono considerazioni simili.

| Potenza trasformatore in resina | Distanza dal trasformatore | | | | |
|---------------------------------------|----------------------------|---------|---------|--------|---------|
| | 1 m | 2 m | 3 m | 5 m | 10 m |
| 6600 kVA | 350,8 µT | 50,4 µT | 16,2 µT | 3,9 µT | 1,51 µT |

Considerando che il rapporto di trasformazione dei trasformatori degli aerogeneratori in esame è 36/0,69, le correnti nominali BT dei trasformatori in esame saranno il 44% più basse di quelle di un normale trasformatore AT/BT di distribuzione di pari potenza che ha rapporto 36/0,4 kV; ne consegue che anche i campi generati saranno più bassi di quelli delle tabelle.

Per quanto riguarda i campi elettrici questi sono nulli all'esterno considerando l'effetto schermante della carcassa dei trasformatori (trasformatori in olio), la schermatura del sistema LPS dell'aerogeneratore e della torre tubolare in acciaio.

Per la valutazione dei campi generati dalle sbarre di bassa tensione si ipotizza che le sbarre di bassa tensione contenute nel quadro BT disposte in piano distino l'una dall'altra D=15 cm e siano lunghe L=2 metri. Ad un metro di distanza dalle sbarre l'induzione magnetica assume il suo massimo valore¹:

$$B_{MAX} = \frac{0,346 * I * D * \sin(\arctg(\frac{L}{D}))}{1 + D^2} = 198,19 \mu T$$

Ovviamente bisogna tenere presente che le torri non sono accessibili al personale non autorizzato e quindi l'eventuale esposizione è limitata alle manovre di manutenzione, nei riguardi degli addetti ai lavori, qualificati ed attrezzati per tali interventi.

Il valore di campo magnetico diminuisce esponenzialmente (come per i trasformatori) e si riduce a pochi µT già a 5 m dalle sbarre. I risultati ottenuti trovano conferma in tantissimi studi e misure effettuate dalle diverse ARPA in Italia. A titolo di esempio uno studio di modellistica

¹ "La protezione dai campi elettromagnetici" – Prof. Paolo Vecchia – Ed. TNE 2003.

previsionale e di misure sul campo condotto dall'ARPA Emilia Romagna² ha verificato che già a 50 cm dalle pareti di una cabina MT/BT tipica della Distribuzione i campi magnetici sono inferiori ai 3 μT per scendere al di sotto di 0,2 μT a meno di 5 m dalle pareti. Risultati analoghi, nei limiti di legge, sono stati attenuati dalla Sezione ARPA di Ravenna³ con valori di campo magnetico subito all'esterno delle cabine che in media si attestano a 0,8 μT con picchi di 3,7 μT . Considerando che la tensione al secondario è di 36 kV ne consegue che la corrente sarà più bassa a parità di potenza e pertanto i valori dei campi magnetici saranno ridotti.

Ne consegue che nel caso a) la verifica dei limiti di legge è automaticamente verificata considerando che le sorgenti di emissione sono situate a oltre 100 metri di altezza.

Nel caso b) la situazione è molto simile a quella delle normali cabine di trasformazione MT/BT per le quali la letteratura, i calcoli effettuati e le prove sperimentali su citate, riportano il largo rispetto dei limiti di legge.

9. LINEE DI DISTRIBUZIONE IN AT

9.1 *Determinazione dei campi magnetici*

Per la realizzazione dei cavidotti di collegamento, sono stati considerati tutti gli accorgimenti che consentono la minimizzazione degli effetti elettromagnetici sull'ambiente e sulle persone. In particolare, la scelta di operare con linee in AT interrate permette di eliminare la componente elettrica del campo, grazie all'effetto schermante del terreno; inoltre la limitata distanza tra i cavi (ulteriormente ridotta grazie all'impiego di terne posate "a trifoglio") fa sì che l'induzione magnetica risulti significativa solo in prossimità dei cavi.

In dettaglio saranno simulati i seguenti tratti di cavidotto alla tensione nominale di 36 kV:

- S1: una terna di conduttori disposti a trifoglio di sezione 800 mm² interrata ad una profondità di 1,50 m;
- S2: due terne di conduttori disposti a trifoglio di sezione 800 mm² interrate ad una profondità di 1,50 m con una interdistanza di 25 cm;
- S3: tre terne di conduttori disposti a trifoglio di sezione 800 mm² interrate ad una profondità di 1,50 m con una interdistanza di 25 cm.
- S4: due terne di conduttori disposti a trifoglio di sezione 800 mm² interrate ad una profondità di 1,50 m con una interdistanza di 25 cm;

² "Modellistica previsionale applicata allo studio dei campi magnetici in prossimità di cabine di trasformazione elettrica (MT/BT)" - Bruni M., Frascetta M., Notari B., Sesti D., Violanti S., Casoli P., D'Angelo L., Martelli A. - 2006

³ Report delle attività di monitoraggio e controllo ambientale della Sezione Arpa di Ravenna - Anno 1997.

Maggiori dettagli sulle correnti massime trasportate e le caratteristiche dei conduttori sono riportati in tabella 3. I valori del campo magnetico sono stati misurati all'altezza dei conduttori (-1,50 m dal livello del suolo), al suolo e ad altezza dal suolo di 1,50 m. Più precisamente, i risultati di seguito riportati illustrano l'andamento del campo magnetico in funzione della distanza dall'asse dei conduttori e l'andamento del campo magnetico su di un asse ortogonale all'asse dei conduttori.

S1 - una terna di conduttori disposti a trifoglio di sezione 800 mm² interrata ad una profondità di 1,5 m

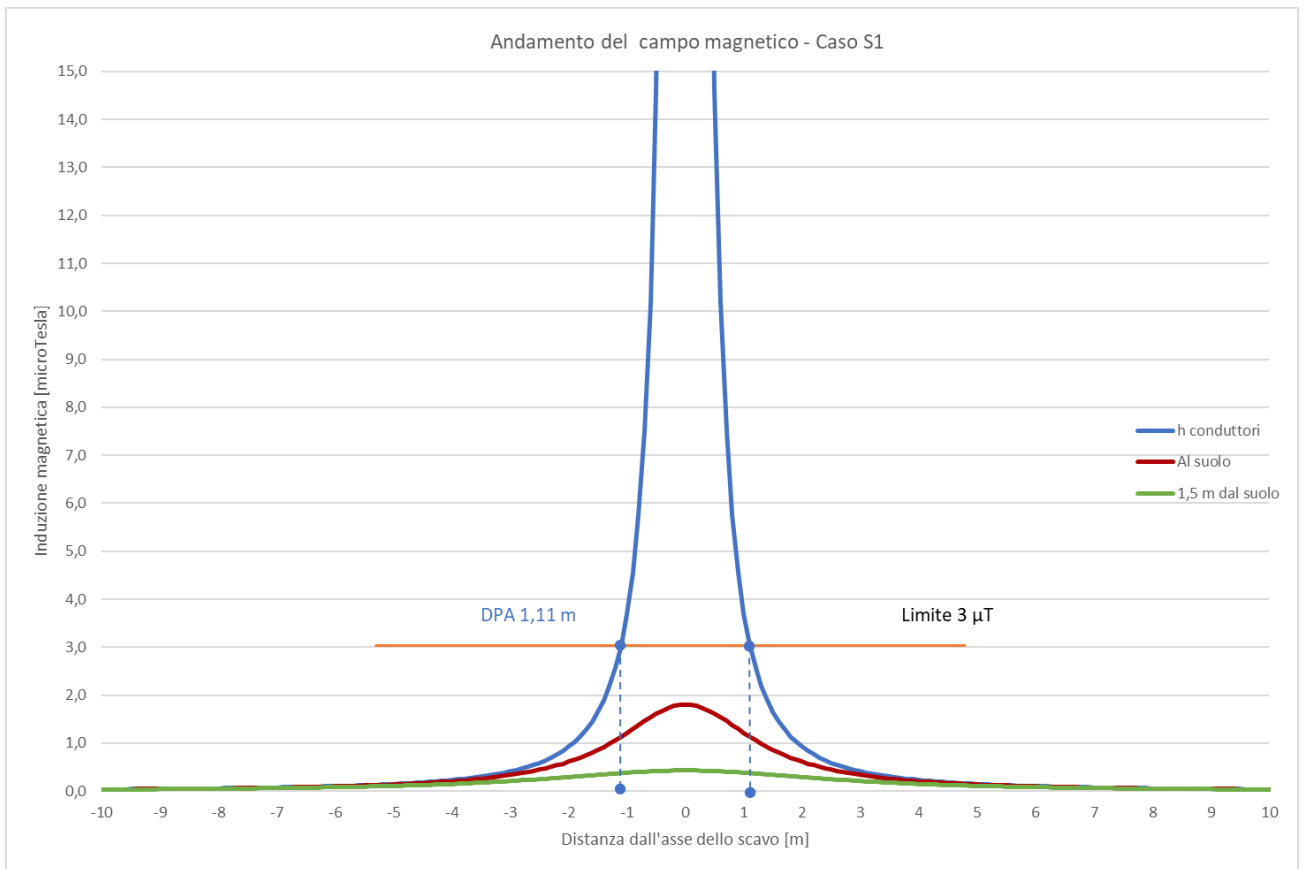


Figura 1 - Andamento del campo magnetico in funzione della distanza dall'asse dei conduttori in forma grafica relativa alla simulazione S1.

| Distanza dai cavi [m] | Altezza conduttori [μT] | Al suolo [μT] | A 1,5 m dal suolo [μT] |
|-----------------------|--------------------------------------|----------------------------|-------------------------------------|
| -10 | 0,037 | 0,036 | 0,034 |
| -9 | 0,046 | 0,045 | 0,041 |
| -8 | 0,058 | 0,056 | 0,051 |
| -7 | 0,076 | 0,073 | 0,064 |
| -6 | 0,103 | 0,097 | 0,083 |
| -5 | 0,148 | 0,137 | 0,110 |
| -4 | 0,232 | 0,205 | 0,151 |
| -3 | 0,412 | 0,335 | 0,211 |
| -2 | 0,926 | 0,613 | 0,294 |
| -1 | 3,692 | 1,216 | 0,386 |
| 0 | 279,923 | 1,809 | 0,431 |
| 1 | 3,692 | 1,216 | 0,386 |
| 2 | 0,926 | 0,613 | 0,294 |
| 3 | 0,412 | 0,335 | 0,211 |
| 4 | 0,232 | 0,205 | 0,151 |
| 5 | 0,148 | 0,137 | 0,110 |
| 6 | 0,103 | 0,097 | 0,083 |
| 7 | 0,076 | 0,073 | 0,064 |
| 8 | 0,058 | 0,056 | 0,051 |
| 9 | 0,046 | 0,045 | 0,041 |
| 10 | 0,037 | 0,036 | 0,034 |

Tabella 4 - Andamento del campo magnetico in funzione della distanza dall'asse dei conduttori in forma tabellare relativa alla simulazione S1.

S2 - due terne di conduttori disposti a trifoglio di sezione 800 mm² interrate ad una profondità di 1,50 m con una interdistanza di 25 cm

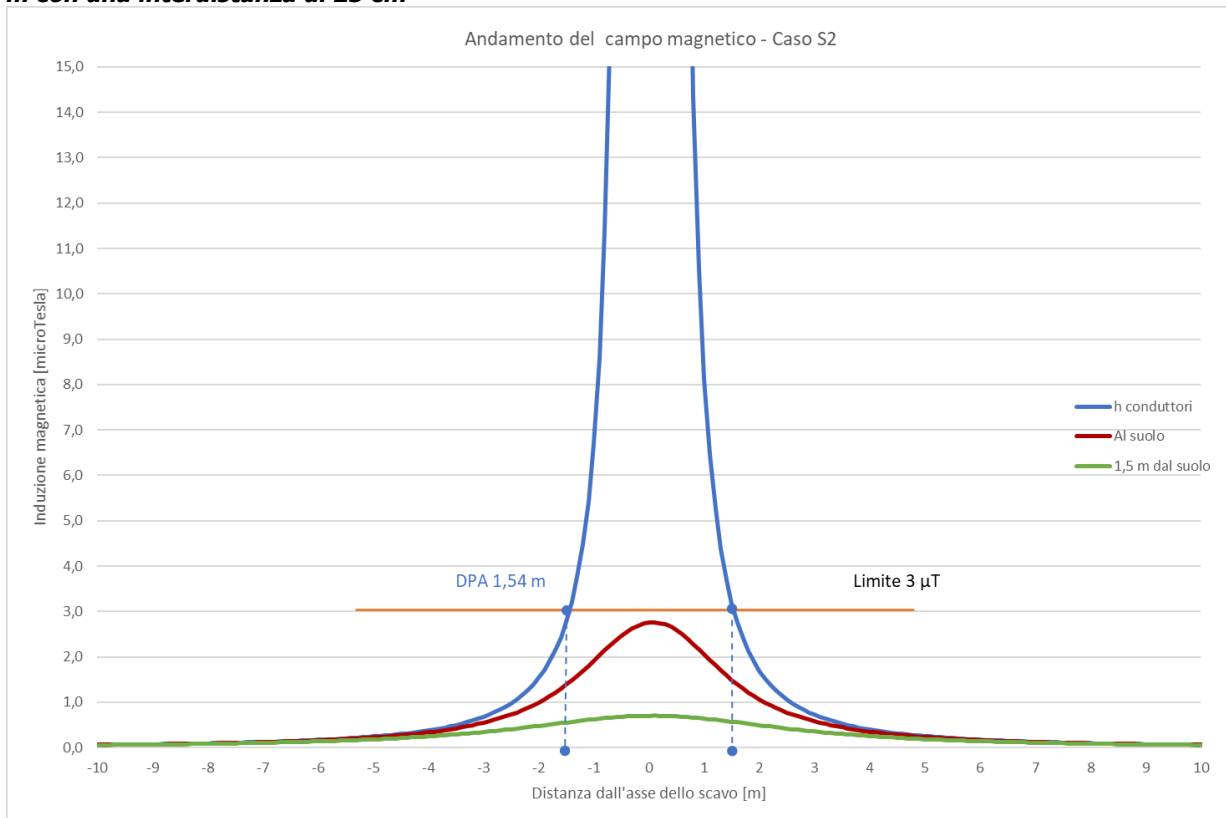


Figura 2 - Andamento del campo magnetico in funzione della distanza dall'asse dei conduttori in forma grafica relativa alla simulazione S2.

| Distanza dai cavi [m] | Altezza conduttori [μ T] | Al suolo [μ T] | A 1,5 m dal suolo [μ T] |
|-----------------------|-------------------------------|---------------------|------------------------------|
| -10 | 0,065 | 0,067 | 0,065 |
| -9 | 0,080 | 0,082 | 0,079 |
| -8 | 0,101 | 0,102 | 0,097 |
| -7 | 0,131 | 0,131 | 0,121 |
| -6 | 0,178 | 0,176 | 0,156 |
| -5 | 0,256 | 0,247 | 0,207 |
| -4 | 0,402 | 0,371 | 0,282 |
| -3 | 0,724 | 0,609 | 0,392 |
| -2 | 1,693 | 1,116 | 0,543 |
| -1 | 8,098 | 2,149 | 0,702 |
| 0 | 80,826 | 2,891 | 0,771 |
| 1 | 6,702 | 2,010 | 0,688 |
| 2 | 1,536 | 1,046 | 0,527 |
| 3 | 0,679 | 0,578 | 0,380 |
| 4 | 0,383 | 0,356 | 0,273 |
| 5 | 0,247 | 0,239 | 0,201 |
| 6 | 0,173 | 0,171 | 0,153 |
| 7 | 0,128 | 0,128 | 0,119 |
| 8 | 0,099 | 0,100 | 0,095 |
| 9 | 0,079 | 0,080 | 0,078 |
| 10 | 0,064 | 0,066 | 0,065 |

Tabella 5 - Andamento del campo magnetico in funzione della distanza dall'asse dei conduttori in forma tabellare relativa alla simulazione S2.

S3 - tre terne di conduttori disposti a trifoglio di sezione 800 mm² interrate ad una profondità di 1,50 m con una interdistanza di 25 cm

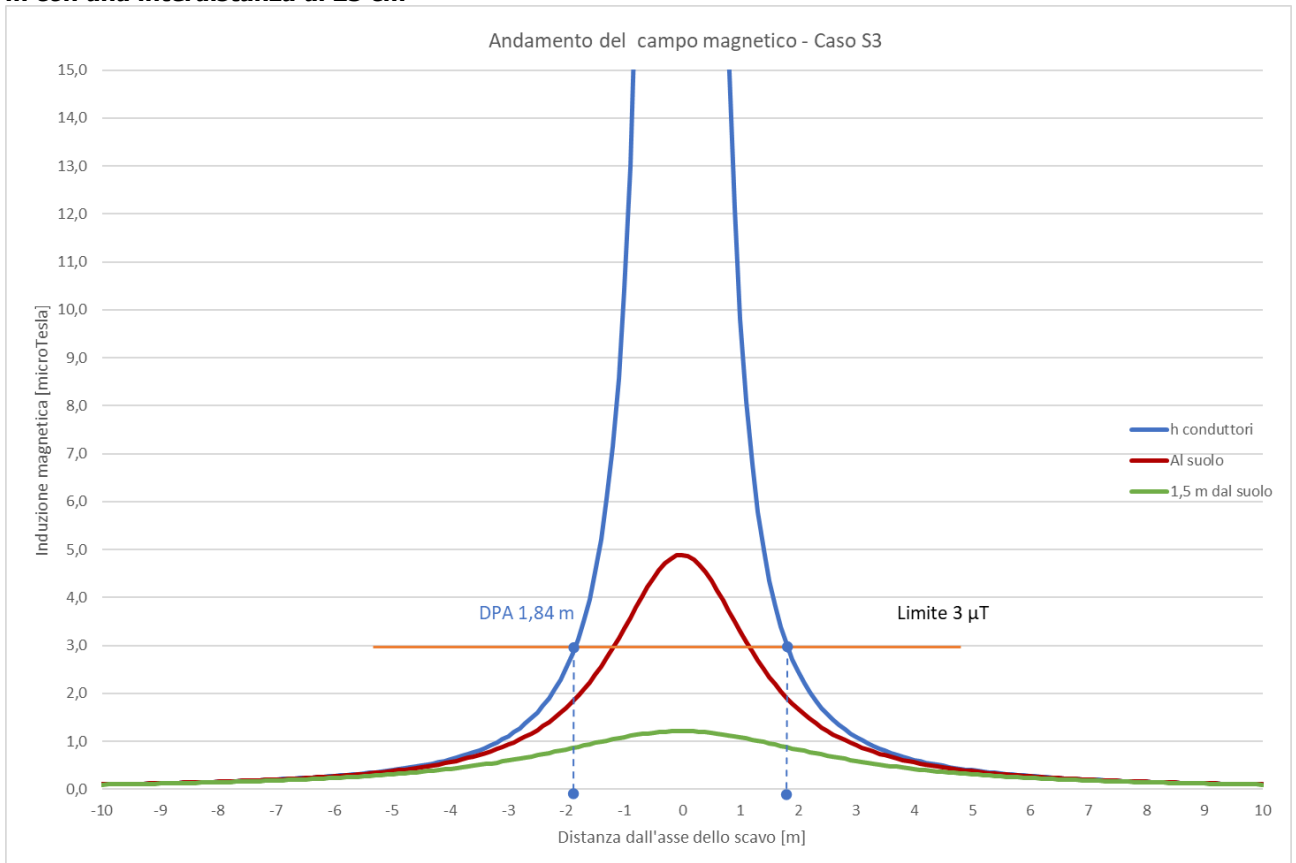


Figura 3 - Andamento del campo magnetico in funzione della distanza dall'asse dei conduttori in forma grafica relativa alla simulazione S3.

| Distanza dai cavi [m] | Altezza conduttori [μT] | Al suolo [μT] | A 1,5 m dal suolo [μT] |
|-----------------------|--------------------------------------|----------------------------|-------------------------------------|
| -10 | 0,101 | 0,102 | 0,098 |
| -9 | 0,124 | 0,125 | 0,119 |
| -8 | 0,157 | 0,156 | 0,146 |
| -7 | 0,204 | 0,202 | 0,184 |
| -6 | 0,277 | 0,270 | 0,237 |
| -5 | 0,399 | 0,380 | 0,314 |
| -4 | 0,624 | 0,569 | 0,429 |
| -3 | 1,112 | 0,930 | 0,599 |
| -2 | 2,521 | 1,701 | 0,835 |
| -1 | 10,433 | 3,357 | 1,092 |
| 0 | 127,714 | 4,890 | 1,213 |
| 1 | 9,799 | 3,289 | 1,085 |
| 2 | 2,444 | 1,667 | 0,827 |
| 3 | 1,089 | 0,915 | 0,593 |
| 4 | 0,614 | 0,562 | 0,425 |
| 5 | 0,394 | 0,376 | 0,312 |
| 6 | 0,275 | 0,268 | 0,235 |
| 7 | 0,203 | 0,200 | 0,183 |
| 8 | 0,156 | 0,155 | 0,145 |
| 9 | 0,123 | 0,124 | 0,118 |
| 10 | 0,100 | 0,101 | 0,098 |

Tabella 6 - Andamento del campo magnetico in funzione della distanza dall'asse dei conduttori in forma tabellare relativa alla simulazione S3

S4 - due terne di conduttori disposti a trifoglio di sezione 800 mm² interrati ad una profondità di 1,50 m con una interdistanza di 25 cm

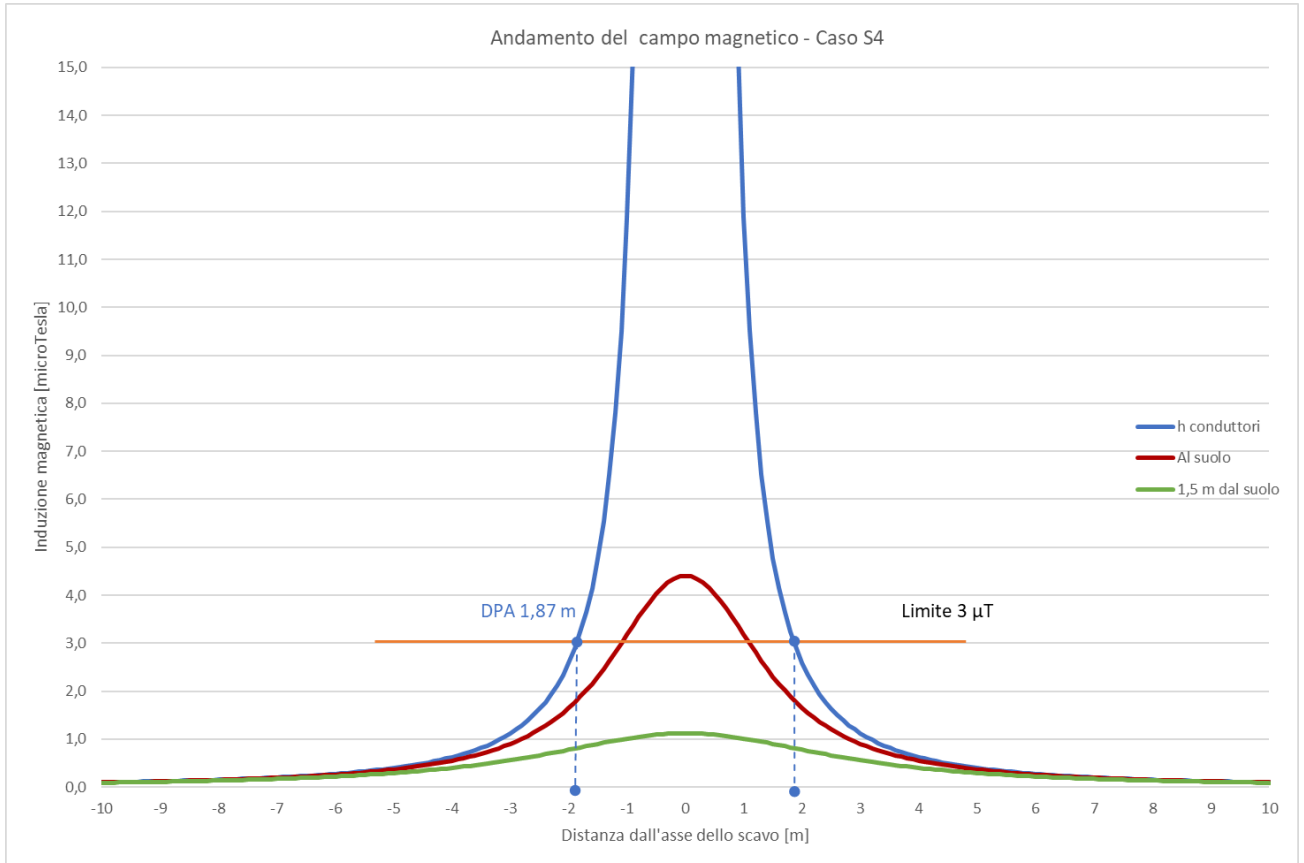


Figura 4 - Andamento del campo magnetico in funzione della distanza dall'asse dei conduttori in forma grafica relativa alla simulazione S4.

| Distanza dai cavi [m] | Altezza conduttori [μ T] | Al suolo [μ T] | A 1,5 m dal suolo [μ T] |
|-----------------------|-------------------------------|---------------------|------------------------------|
| -10 | 0,099 | 0,097 | 0,091 |
| -9 | 0,122 | 0,119 | 0,111 |
| -8 | 0,155 | 0,150 | 0,136 |
| -7 | 0,202 | 0,194 | 0,172 |
| -6 | 0,276 | 0,261 | 0,222 |
| -5 | 0,398 | 0,368 | 0,295 |
| -4 | 0,625 | 0,552 | 0,403 |
| -3 | 1,121 | 0,904 | 0,562 |
| -2 | 2,587 | 1,651 | 0,781 |
| -1 | 11,875 | 3,174 | 1,015 |
| 0 | 128,073 | 4,404 | 1,126 |
| 1 | 11,879 | 3,174 | 1,015 |
| 2 | 2,587 | 1,651 | 0,781 |
| 3 | 1,121 | 0,904 | 0,562 |
| 4 | 0,625 | 0,552 | 0,403 |
| 5 | 0,398 | 0,368 | 0,295 |
| 6 | 0,276 | 0,261 | 0,222 |
| 7 | 0,202 | 0,194 | 0,172 |
| 8 | 0,155 | 0,150 | 0,136 |
| 9 | 0,122 | 0,119 | 0,111 |
| 10 | 0,099 | 0,097 | 0,091 |

Tabella 7 - Andamento del campo magnetico in funzione della distanza dall'asse dei conduttori in forma tabellare relativa alla simulazione S4

9.2 Distanze di prima approssimazione

Il calcolo della DPA per i cavidotti di collegamento in AT simulati si traduce graficamente nell'individuazione di una distanza che ha origine dal punto di proiezione dall'asse del cavidotto al suolo e ha termine in un punto individuato sul suolo il cui valore del campo magnetico risulta essere uguale o inferiore ai 3 μ T. Si riportano nella seguente tabella le distanze di prima approssimazione per i tratti di cavidotto presi in esame:

| CASO DI STUDIO | N° TERNE | SEZIONI [mm ²] | TIPOLOGIA CAVO | TENSIONE [kV] | DPA [m] |
|----------------|----------|----------------------------|------------------|---------------|----------|
| S1 | 1 | 3x1x800 | HV XLPE 26/45 kV | 36 | 2 |
| S2 | 2 | 3x1x800 | HV XLPE 26/45 kV | 36 | 2 |
| | | 3x1x800 | HV XLPE 26/45 kV | 36 | |
| S3 | 3 | 3x1x800 | HV XLPE 26/45 kV | 36 | 2 |
| | | 3x1x800 | HV XLPE 26/45 kV | 36 | |
| | | 3x1x800 | HV XLPE 26/45 kV | 36 | |
| S4 | 2 | 3x1x800 | HV XLPE 26/45 kV | 36 | 2 |
| | | 3x1x800 | HV XLPE 26/45 kV | 36 | |

Tabella 8 - Distanza di prima approssimazione per cavidotti di collegamento tra il parco eolico e la Stazione Terna



In dettaglio si sono ottenuti i seguenti valori:

- **CASO S1** - Valore a 3 μT : 1,11 m - Valore DPA: 2 m;
- **CASO S2** - Valore a 3 μT : 1,54 m - Valore DPA: 2 m;
- **CASO S3** - Valore a 3 μT : 1,84 m - Valore DPA: 2 m;
- **CASO S4** - Valore a 3 μT : 1,87 m - Valore DPA: 2 m.

le cui DPA sono state calcolate con una approssimazione non superiore al metro così come indicato nel paragrafo 5.1.2 della guida allegata al DM del 29/05/2008.

10. CABINA UTENTE

La cabina utente, da realizzarsi nei pressi del punto di consegna, è il punto di raccolta dei cavi provenienti dal parco eolico per consentire il trasporto dell'energia prodotta fino al punto di consegna alla rete di trasmissione nazionale e riceve l'energia prodotta dagli aerogeneratori attraverso la rete di raccolta a 36 kV.

Il progetto della cabina utente prevede che sia l'entrata che l'uscita dei cavi AT (36 kV) avvenga mediante posa interrata al fine di garantire il raccordo con la stazione RTN.

All'interno dell'area recintata della cabina utente sarà ubicato un fabbricato suddiviso in vari locali che a seconda dell'utilizzo ospiteranno i quadri AT, gli impianti BT e di controllo, gli apparecchi di misura, i servizi igienici, ecc. Inoltre sarà installata una reattanza shunt per permettere l'eventuale rifasamento delle correnti reattive.

L'area occupata dalla cabina utente è opportunamente recintata e tale recinzione comprende tutta una zona di pertinenza intorno alle apparecchiature, per permettere le operazioni di costruzione e manutenzione con mezzi pesanti.

All'interno del fabbricato presente nell'area della cabina utente sarà installato un trasformatore dei servizi ausiliari della potenza presunte di 150 kVA con Vcc% pari al 6%. A vantaggio di sicurezza per lo studio in esame si è considerato l'utilizzo di trasformatori in resina.

Si riporta in tabella l'induzione magnetica prodotta da un trasformatore AT/BT in resina della potenza di 150 kVA e tensione di corto circuito 6%.

| Potenza trasformatore in resina | Distanza dal trasformatore | | | | |
|---------------------------------------|----------------------------|-------------------|-------------------|-------------------|--------------------|
| | 1 m | 2 m | 3 m | 5 m | 7 m |
| 150 kVA | 52,9 μT | 7,6 μT | 2,4 μT | 0,6 μT | 0,23 μT |

Tabella 9: Valori di induzione magnetica trasformatore cabina utente

Il calcolo della DPA simulati si traduce graficamente nell'individuazione di una distanza che ha origine dal punto di proiezione e ha termine in un punto individuato sul suolo il cui valore del campo magnetico risulta essere uguale o inferiore ai 3 μ T. Il relativo valore di DPA pertanto sarà pari a circa 3 m dal trasformatore. A vantaggio di sicurezza il valore di DPA è stato considerato a partire dalle pareti perimetrali del locale dove è ubicato il trasformatore.

11. CONCLUSIONI

La determinazione delle fasce di rispetto è stata effettuata in accordo al D.M. del 29/05/2008 riportando per ogni opera elettrica la summenzionata DPA. Dalle analisi e considerazioni fatte si può desumere quanto segue:

- I valori di campo elettrico si possono considerare inferiori ai valori imposti dalla norma (<5000 V/m) in quanto le aree con valori superiori ricadono all'interno delle recinzioni della cabina utente e dei locali quadri e subiscono un'attenuazione per effetto della presenza di elementi posti fra la sorgente e il punto irradiato;
- Per i cavidotti in alta tensione la distanza di prima approssimazione non eccede il range di ± 2 m rispetto all'asse del cavidotto;
- Per la cabina utente la distanza di prima approssimazione non eccede il range di ± 3 m dal perimetro del locale dove è ubicato il trasformatore.

All'interno delle aree summenzionate delimitate dalle DPA non risultano recettori sensibili ovvero aree di gioco per l'infanzia, ambienti abitativi, ambienti scolastici, luoghi adibiti a permanenza di persone per più di quattro ore giornaliere.

Si può quindi concludere che la realizzazione delle opere elettriche relative alla realizzazione di un impianto eolico con potenza complessiva pari a 52,8 MW, sito nei comuni di Guagnano (LE) e San Donaci (BR), in cui insistono gli aerogeneratori e le opere di connessione alla RTN che attraversano anche i territori di San Pancrazio Salentino (BR), Salice Salentino (LE), Avetrana (TA) e Erchie (BR), rispettano la normativa vigente.
